

## 마이크로웨이브 플라즈마 화학기상성장법에 의한 다이아몬드 박막의 합성에 관한 연구

11-10-10

### A Study on the Diamond Thin Films Synthesized by Microwave Plasma Enhanced Chemical Vapor Deposition

이병수<sup>\*</sup>, 이상희<sup>†</sup>, 박상현<sup>‡</sup>, 유도현<sup>\*\*\*</sup>, 이백수<sup>\*</sup>, 이덕출<sup>\*</sup>

(Byoung-Soo Lee, Sang-Hee Lee, Sang-Hyun Park, Do-Hyun You, Beak-Su Lee, Duck-Chool Lee)

#### Abstract

In this study, the metastable state diamond thin films have been deposited on Si substrates from methane-hydrogen and oxygen mixture using Microwave Plasma Enhanced Chemical Vapor Deposition (MWPCVD) method. Effects experimental parameters of MWPCVD including methane concentrations, oxygen additions, operating pressure, deposition time on the growth rate and crystallinity were investigated. diamond thin film was synthesized under the following conditions: methane concentration of 0.5% (0.5sccm)~5% (5sccm), oxygen concentration of 0~80% (2.4sccm), operating pressure of 30Torr~70Torr, deposition time of 1~32hr. SEM, XRD, and Raman spectroscopy were employed to analyze the growth rate and morphology, crystallinity and preferred growth direction, and relative amounts of diamond and non-diamond phases respectively.

**Key Words(중요용어):** Diamond Thin Films(다이아몬드 박막), Microwave Plasma Enhanced Chemical Vapor Deposition(마이크로웨이브 플라즈마 화학기상성장법), Morphology(표면형상), Crystallinity(결정성)

#### 1. 서 론

다이아몬드 합성 메카니즘에서 중요한 역할을 하는 것으로 알려져 있는 원자상 수소와 메틸 라디칼<sup>1)</sup>에 의해 기상합성법으로 성장된 다이아몬드 박막은 천연 다이아몬드에 버금가는 높은 경도, 가시광선 및 적외선 영역에서 우수한 투과도, 전기적 절연성 및 저 마찰 계수와 내마모 특성을 가지고 있으며, 650°C 이상의 산소분위기를 제외하고는 화학적으로 안정하고 불순물 도핑으로 반도체화가 가능하기 때문에 여러 특수한 분야에 걸쳐 광범위하게 응용

가능성이 제시되고 있다<sup>2)</sup>. 1955년 Bundy<sup>3)</sup> 등에 의한 HPHT(High Pressure High Temperature)방법으로 합성 다이아몬드가 개발되어 절삭 및 연마 가공분야에 이용되었으나 HPHT에 의해서는 단순한 벌크나 결정형태로만 합성할 수 있기 때문에 사용상 제약과 제조상 고온, 고압을 요구하므로 경제적, 기술적으로 제한적일 수 밖에 없었다. 따라서 다양한 형태와 용이하게 합성이 가능한 다이아몬드 박막 합성에 대한 연구가 수행되어 왔으며, 1982년 일본 과학기술청 무기재질연구소의 Matsumoto<sup>4)</sup> 등은 Hot-Filament CVD (HFCVD)법으로 새로운 가스 활성 기술에 의한 저압에서 다이아몬드 박막을 합성하는 방법을 발표하였다. 그 이후 연구가 본격적으로 시작되어, Ion Beam Deposition<sup>5)</sup>, Sputter Deposition<sup>6)</sup>, CVD(Chemical Vapor Deposition)<sup>4)</sup>등 여러방법들의 합성법이 고안되었다. 이러한 여러 가지 방법중에서 마이크로웨이브의 글로우 방전을 이

\* : 인하대학교 공대 전기공학과  
† : 인천시 남구 용현동 253, Fax: 032-863-5822  
E-mail : leebsoo@hanimail.com  
\*\* : 경남대학교 공대 전기공학과  
\*\*\* : 안산공업전문대학 전기과  
1998년 7월 23일 접수, 1998년 9월 24일 심사완료  
<98 춘계학술회에서 우수논문으로 추천됨>

용한 MWPCVD(Microwave Plasma Enhanced Chemical Vapor Deposition)합성법이 간단한 장치로써 양질의 다이아몬드 박막 합성이 보고 된 바 있다<sup>7)</sup>.

종래의 합성방법으로 사용되어온 HFCVD방법은 변수조절이 어렵고 필라멘트의 빠른 탄화로 인하여 장시간 증착이 어려우며 전극의 금속성분의 혼입으로 박막의 contamination과 같은 단점이 있었다. 따라서 이런 단점에 비해 무전극으로 오염이 없으며 장시간 안정하게 다이아몬드를 합성 할 수 있는 마이크로웨이브 플라즈마 CVD (MWPCVD)법으로 박막을 합성하였으며 실험 파라메타(parameter)인 메탄농도, 산소농도, 압력, 시간의 변화가 성장조건에 미치는 영향을 개별적으로 살펴본 후 전체를 종합하여, 중점적으로 검토함으로써 다이아몬드 박막의 합성에 있어 가장 중요한 요인 (internal parameter)이 무엇이며, 또 각 변수가 그 요인에 어떻게 영향을 미치는지를 조사하여 다이아몬드 CVD에 있어서의 합성 조건을 확립하는데 그 목적이 있다.

## 2. 실험 방법

본 연구에서 사용한 마이크로웨이브 플라즈마 CVD장치는 주파수가 2.45GHz이고, 용량이 1.5kW인 MWPCVD장치이며 장치개략도를 그림 1에 나타내었다. 실험에 사용한 가스로는 메탄, 수소 및 산소를 사용하였으며, 반응관에 유입되는 가스의 유량은 MFC(Ueshima, 5850TR)로 조절하였다. 반응관 내의 압력은 디지털 진공계(OKANO, NA-2076)로 기판온도는 광온도계 (Minolta IR-630)로 측정하였다.

기판으로는 실리콘웨이퍼(P-type ; orientation 100)를 사용하였고, 이것을  $12 \times 12\text{mm}^2$ 로 절단한 후  $1\mu\text{m}$ 의 다이아몬드 폐이스트를 이용하여 10분간 연마 후, 표면의 불순물 제거를 위해 증류수와 아세톤 용액 내에서 각각 10분씩 초음파 세척을 하였다.

실험에 사용한 조건은 마이크로웨이브 전력 800W, 반응관 압력 30~70Torr, 수소 유량 100sccm, 산소유량 0~2.4sccm, 메탄유량 0.5~5sccm, 기판온도 820~884°C로 하였으며, 반응시간은 1~32 시간으로 하였다. 증착된 다이아몬드의 평가에는 X-선 회절분석장치 (X-ray diffractometer, XRD), 주사전자현미경 (Scanning Electron Microscopy, SEM), 및 Raman 분광기 (Raman Spectroscopy)를 사용하였다.

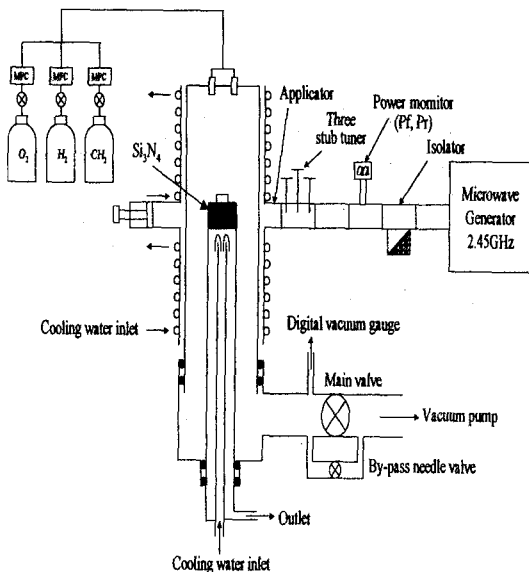


그림 1. 실험장치의 개략도

Fig. 1. Schmetric diagram of the experimental apparatus

## 3. 결과 및 고찰

### 3.1 메탄농도에 따른 변화

그림 2는 수소유량 : 100sccm, 메탄유량 : 0.5~5sccm, 반응압력 : 50torr, 기판온도 : 824~850°C, 증착시간 : 5시간의 조건하에서 메탄농도에 따른 다이아몬드 결정의 표면 형상을 보여주고 있다.

메탄농도가 증가함에 따라 흑연과 비정질 탄소가 상당량 동시에 증착된 것으로 보여진다. 0.5%에서 4.0%까지의 메탄농도에서는 결정면이 매우 깨끗한 다이아몬드가 형성되었으며 이때 성장면은 다이아몬드의 전형적인 성장면인 (111)면과 (100)면의 결정면들을 가진 박막이 주종을 이루고 있음을 알 수 있었다. 2% 미만의 메탄농도에서는 (111)면과 (100)면이 동시에 성장면으로 발달한 일반적인 <110>면의 집합조직을 보였고 3%와 4%의 경우 (100)면이 많이 발달된 표면조직으로 <100>방향에 가까운 집합조직을 나타내었다. 그러나 5%의 메탄농도에서는 메탄농도 증가에 따른 결정립 형태가 각이진 면(faceted plane)에서 결정면의 구별이 힘든 구형의 형태로 변화하는데 이는 메탄농도 증가에 따라 결정립 사이에  $sp^2$ 결합의 결정질 탄소인 흑연이 동시에 증착되었음을 알 수 있었다. 이것은 플라즈마내

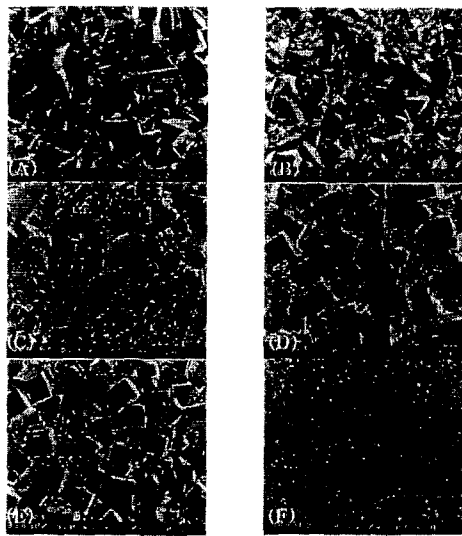


그림 2. 메탄농도에 따른 다이아몬드 박막의 표면 형상

Fig. 2. The diamond films morphology changes as a function of methane concentration  
 (A) 0.5% (B) 1.0% (C) 2.0% (D) 3.0%  
 (E) 4.0% (F) 5.0%

의 C/H 비율이 높아져서 흑연의 에칭속도가 줄어들며 또한 원자상 수소의 감소는 다이아몬드 표면의 hydrogen termination수의 감소로 이어져 다이아몬드 표면에서의 흑연 형성을 조장하기 때문이라고 보인다<sup>8)</sup>.

그림 3은 메탄농도를 변화시켜 얻은 다이아몬드 박막의 Raman Spectroscopy 분석 결과이다.

0.5%에서 4%까지의 메탄농도에서는  $1332\text{cm}^{-1}$ 에서 다이아몬드의 전형적인 peak만이 나타나는 반면에 특히 5%의 메탄농도에서는 다이아몬드 peak는 거의 없으며  $1550\text{cm}^{-1}$ 근처에서 broad한 비 다이아몬드의 peak의 강도가 크게 나타나는 것을 볼 수 있다. 이는 0.5%와 4%사이의 메탄농도에서는 순수한 다이아몬드가 증착된 반면 5%의 메탄농도에서는 다이아몬드외에 비 다이아몬드상이 함께 증착된 것을 쉽게 알 수 있었다. 따라서 5%의 메탄농도에서는 다이아몬드상은 미소하며 흑연이 주로 성장한 것으로 생각된다.

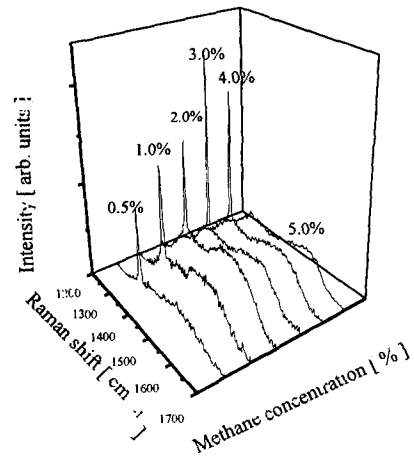


그림 3. 메탄농도에 따른 Raman spectra

Fig. 3. Raman spectra showing the effect of methane concentration

### 3.2 산소첨가에 따른 변화

다이아몬드 형성시 흑연은 안정상으로 항상 동시에 증착된다. 이와 함께 DLC(Diamond Like Carbon)과 비정질 탄소도 함께 증착되는데 이것은 다이아몬드의 여러 가지 성질을 저하시키는 원인이 된다. 이에 따라 이들 불순물의 동시 증착을 억제하거나 이들만 선택적으로 에칭하여 제거하는 것이 필요하다. 이러한 anti-graphite 화학종의 대표적인 예가 원자상 수소, 원자상 산소 그리고 OH등이다. 반응관내의 산소첨가는 여러 가지 방법으로 이루어지고 있다. 즉 산소원자를 포함하는 유기화합물 형태나 물 또는 CO등의 화합물 형태이거나 직접 산소가스를 첨가하여 주기도 한다. Saito<sup>9)</sup>등은 식각실험을 통해 흑연이 다이아몬드에 비해 식각속도가 50배 정도 빠르며 수소에 물을 혼입하면 약 100배 정도 빠른 식각속도를 나타내 다이아몬드의 결정성이 증가함을 보였다. 산소혼입에 의해 결정성이 개선되는 이유는 산소가 비다이아몬드상에 대한 선택적 식각효과를 증대시키기 때문이다. 즉 두 경우 공통적으로 존재하는 O 나 OH 라디칼이 수소에 비해 반응성이 크기 때문에 비다이아몬드상을 효과적으로 식각해서 결정성이 증가하기 때문이다. 따라서 다이아몬드 박막의 결정성의 변화를 살펴보기 위해 결정성이 가장 좋은 메탄농도 3%일 때 산소첨

가에 따른 다이아몬드 박막의 변화를 알아보았다.

그림 4는 메탄농도가 3%일 때 메탄에 대한 산소농도를 0%에서 80%까지 변화시키면서 증착시킨 다이아몬드 표면 형상을 나타낸 것이다.

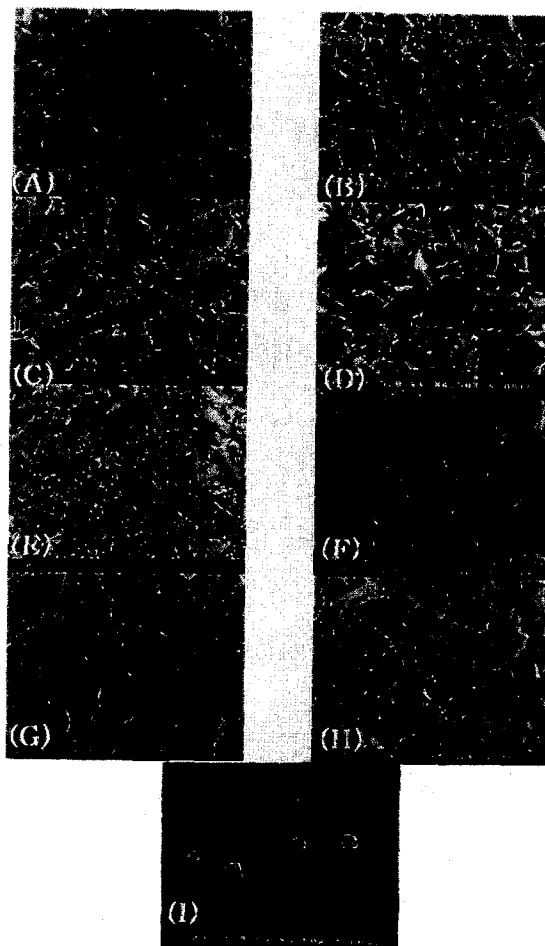


그림 4. 산소첨가에 따른 다이아몬드 박막의 표면 형상

Fig. 4. The diamond films morphology changes as a function of oxygen addition  
 (A) 0% (B) 10% (C) 20% (D) 30%  
 (E) 40% (F) 50% (G) 60% (H) 70%  
 (I) 80%

다이아몬드와 동시에 증착되는 흑연의 산소에 의한 선택적인 에칭 때문에 흑연상의 구형의 입자들이 없는 결정면이 매우 깨끗한 다이아몬드 박막이

형성되었음을 보여주고 있다. 산소는 흑연을 구성하는 탄소와 플라즈마내에 존재하는 아세틸렌계 탄화수소의 탄화원자와 결합하여  $\text{CO}$ ,  $\text{CO}_2$ 등의 화합물을 만들기 때문에 부가적으로 C/H 비율을 감소시키는 효과도 나타난다고 생각된다. 산소가 첨가 되지 않았을 경우 다이아몬드 결정의 성장면이 매끄럽지 못하고 불균일하여 흑연이 혼재되었음을 알 수 있었다. 이에 반해 산소의 농도가 증가함에 따라 다이아몬드 결정은 매우 깨끗한 (111)과 (100)의 입방정 결정면을 나타내었는데 이것은 결정의 표면에서 형성된 흑연이 산소에 의해 우선적으로 에칭되었다고 생각된다. 또한 원자상 산소가 원자상 수소와 같이 다이아몬드 표면을  $\text{sp}^3$ 구조의 결합형태로 유지시키는 역할도 함께 하기 때문에 다이아몬드가 효과적으로 성장할 수 있었으며, 80%에서는 과도한 산소첨가로 박막을 형성하지 못했으며 이는 다이아몬드 박막 형성에 꼭 필요한 입자를 형성하는 다이아몬드 embryo가 임계핵 크기로 미쳐 자라기 전에 상당량 에칭해서 박막 형태가 아닌 입자 형태로 다이아몬드가 형성되었으며, 표면에너지가 높은 상처가 있는 기판 표면을 국부적으로 에칭한 것으로 생각된다.

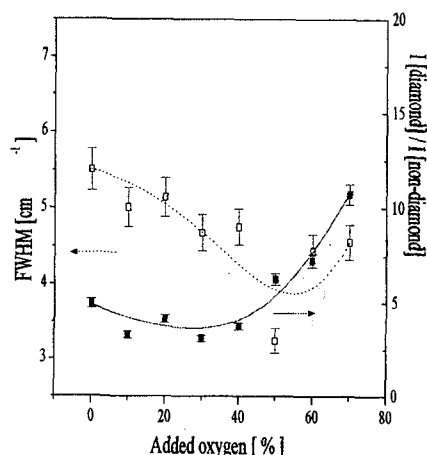


그림 5. 산소첨가에 따른 반가폭과  $I[\text{d}] / I[\text{nd}]$ 의 변화

Fig. 5. Variation of FWHM and  $I[\text{diamond}] / I[\text{non-diamond}]$  with oxygen addition

그림 5는 Raman Spectroscopy에서의 FWHM과

나이아몬드 Raman peak의 강도 I<sub>d</sub>[dimond] 대 비다이아몬드 Raman peak의 강도 I<sub>nd</sub>[non-diamond]의 비 I<sub>d</sub> / I<sub>nd</sub> 을 나타낸 것이다.

다이아몬드 반가폭은 5.5cm<sup>-1</sup>에서 3.25cm<sup>-1</sup>까지 현저하게 감소함을 알 수 있고 비다이아몬드 성분은 점차 줄어듬을 알 수 있다. 특히 50%에서 산소첨가에 따라 다이아몬드 결정성이 훨씬 향상됨을 말해준다.

### 3.3 반응압력에 따른 변화

기상합성법에 의해서 다이아몬드 박막을 증착시킬 때 반응기 내부의 압력 또한 생성되는 박막의 성질에 영향을 주는 것으로 알려져 있으며 낮은 압력하에서는 비정질 탄소나 흑연상 탄소가 생성되지만 압력이 증가함에 따라 이러한 비정질 탄소나 흑연상 탄소가 감소하고 순수한 다이아몬드가 형성되는 것으로 알려져 있다<sup>3)</sup>. 그러나 반응기 내부 압력이 증가함에 따라 발생되는 플라즈마의 크기가 줄어들어 증착면적이 감소하게 된다.

그림 6은 합성압력에 따른 Raman spectroscopy 분석을 나타낸 것이다.

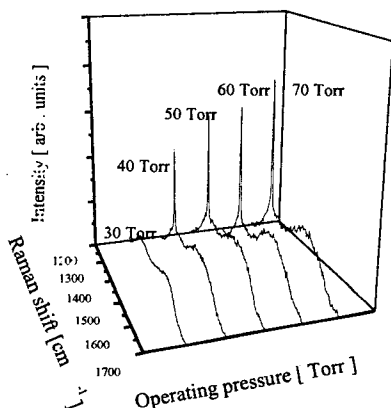


그림 6. 반응압력에 따른 Raman spectra

Fig. 6. Raman spectra showing the effect of operating pressure

30torr의 낮은 압력하에서 생성된 증착물은 1332cm<sup>-1</sup>의 다이아몬드 특성 피크가 broad하게 넓

은 밴드만 나타났을 뿐 예리한 다이아몬드 특성 피크는 확인 할 수 없음으로 보아 비정질 탄소나 흑연상 탄소이며, 압력이 증가함에 따라 40torr 이상에서 1332cm<sup>-1</sup>의 다이아몬드 피크는 점점 증가하여 예리하게 나타나는데 이는 결정의 순수도가 증가하고 있음을 나타낸다.

### 3.4 증착시간에 따른 변화

그림 7은 수소유량 : 100sccm, 메탄 : 3sccm, 산소 : 1.5sccm, 기관온도 : 820~871°C 압력 : 50torr의 조건에서 증착시간을 1, 2, 4, 8, 16 그리고 32시간으로 변화시켰을 때 증착된 다이아몬드 박막의 표면형상을 관찰한 것으로, 증착시간이 증가함에 따라 표면반응에 의해 생성되는 다이아몬드의 결정립의

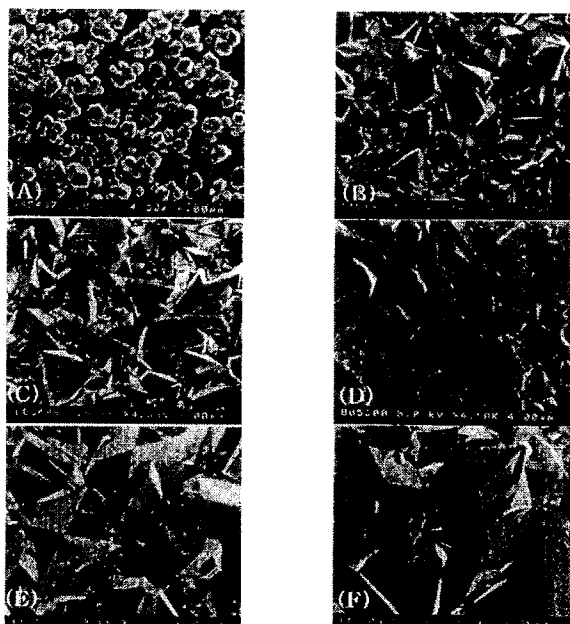


그림 7. 증착시간에 따른 다이아몬드 박막의 표면형상

Fig. 7. The diamond films morphology changes as a function of deposition time

(A) 1hr (B) 2hr (C) 4hr (D) 8hr  
(E) 16hr (F) 32hr

크기가 점차 증가함을 알 수 있다. 이는 앞서 설명

한 일정한 방향성을 가지는 입자의 우선성장에 따라 입자의 크기가 커지기 때문이다<sup>10)</sup>.

그림 8은 증착시간의 변화에 따른 다이아몬드 박막의 두께변화를 나타낸 것이다.

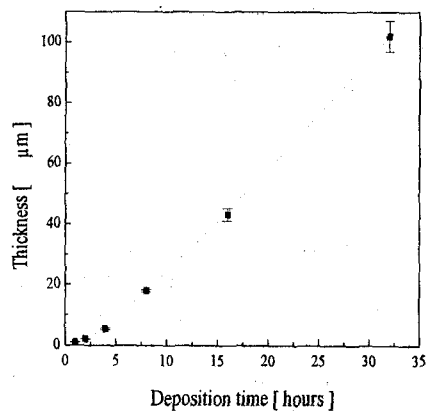


그림 8. 증착시간에 따른 두께변화

Fig. 8. Variation of film thickness the effect of deposition time

증착시간에 따라서 다이아몬드 박막의 두께는 시간에 비례하여 거의 직선적으로 성장한 것을 볼 수 있다. 이것은 막 성장이 계면반응에 의해 이루어지기 때문이며 CVD법의 다이아몬드 박막은 다이아몬드의 성장이 계면 반응에 의해 진행하는 것은 잘 알려져 있다<sup>11)</sup>. 본 연구에서의 증착 속도는  $100\mu\text{m}$ 까지 거의 일정한 것을 알 수 있었고, 증착속도는 약  $2.29\mu\text{m}/\text{h}$ 이다. 증착시간이 4시간 미만의 경우에 박막 두께의 증가가 느린 것은 기판전체 면적에 박막이 균일하게 형성하는데 시간이 소요되기 때문이다.

#### 4. 결 론

본 실험에서는 마이크로웨이브 플라즈마 화학기상성장법을 이용하여 다이아몬드 박막을 합성하였으며, 각 변수의 영향을 연구한 결과 다음과 같은 결론을 얻을 수 있었다.

1. 메탄농도에 따른 다이아몬드 박막의 증착에 있어서 5%의 메탄농도하에서 증착시킨 다이아몬드 박막에서는 결정면을 확인 할 수 없는 비다이아몬드 성분이 증착되었으며, 3%에서 결정성이 가장 우수한 것으로 나타나 다이아몬드 합성에 있어서 메탄

농도의 최적조건은 3%이다.

2. 산소의 첨가량이 증가할수록 결정성이 향상되어 산소농도 50%에서 가장 결정성이 우수하였으며, 산소의 예칭으로 성장속도는 점차 감소하였다.
3. 반응압력이 증가할수록 다이아몬드의 표면형상과 크기는 향상되었으나, 압력증가에 따른 플라즈마 형성영역이 줄어들었기 때문에 다이아몬드 박막의 증착면적은 줄어들었으며 성장률은 전반적으로 증가하였다.
4. 증착시간에 따라 박막의 두께와 결정립의 크기는 증가하였다.

#### 감사의 글

본 연구는 1998년도 한국과학재단 핵심전문연구 선정과제 (과제번호 : 971-0911-064-2)에 의하여 수행되었으므로 이에 감사드립니다.

#### 참 고 문 헌

1. K. E. Spear, "Diamond-Ceramic Coating of Future", J. Am. Ceram. Soc., Vol. 72, No. 2, pp171~191 (1989).
2. F. P. Bundy, H. T. Hall, H. M. Strong, and R. H. Wentorf, Jr. "Man-Made Diamond", Nature, Vol. 176, pp51~55 (1955).
3. B. V. Spitsyn, L. L. Bouilov, and B. V. Derjaguin, "Vapor growth of diamond on diamond and other surface", J. Crystal Growth., 52, pp219~226 (1981).
4. S. Matsumoto, Y. Sato, M. Kamo, and N. Setaka, "Vapor Deposition of diamond Particle from Methane", Jpn. J. Appl. Phys., Vol. 21, No. 4, ppL183~185 (1982).
5. S. Aisenberg, J. Vac. Sci. Technol., A. Vol. 2, No. 2, pp369~371 (1984).
6. B. A. Blanks and S. K. Rutledge, J. Vac. Sci. Technol., Vol. 21, No. 3, pp807~814 (1982).
7. H. C. Tsai and D. B. Bogy, J. Vac. Sci. Technol., A. Vol. 5, No. 6, pp3287~3312 (1987).
8. K. Tankala and T. Debroy, J. Appl. Phys., Vol. 72, No. 2, 7125 (1992).
9. Y. Saito, K. Sato, H. Tannka, K. Fujita, and S. Matsuda, J. Mater. Sci., Vol. 23, 842 (1988).
10. A. Van der Drift, Philips Res. Reports., 22, 267 (1967).
11. A. Okawa, J. Cryst. Growth., 212 (1977).